

3. Середенко М. М., Мойбенко А. А., Миняйленко Т. Д. Оксигенация крови в легких и особенности развития гипоксического состояния при гипертермии // Там же.—1988.—74, № 7.—С. 987—994.
4. Середенко М. М., Пожаров В. П., Миняйленко Т. Д. Внешнее дыхание, газообмен и кислотно-основное состояние крови при гипертермии у собак // Физиол. журн.—1989.—35, № 1.—С. 21—25.
5. Султанов Ф. Ф., Ткаченко Б. И., Султанов Г. Ф. Кровообращение при гипертермии—Ашхабад : Ылым, 1988.—342 с.
6. Ткаченко Б. И., Султанов Г. Ф. Сдвиги в системе кровообращения при воздействии на организм высокой внешней температуры // Успехи физиол. наук.—1983.—14, № 2.—С. 28—55.
7. Frankel H. M., Ellis J. P. Jr., Cain S. M. Development of tissue hypoxia during progressive hyperthermia in dogs // Amer. J. Physiol.—1963.—205, N 4.—P. 733—737.
8. Fox R. H., Hilton S. M. Bradikinin formation in human skin as a factor in heat vasodilatation // J. Physiol.—1958.—142, N 2.—P. 219—232.
9. Hales J. R. S. Thermoregulatory implications for partition of the circulation between nutrient and nonnutritive circuits // Microvasc. Res.—1980.—19, N 2.—P. 250.
10. Horowitz M., Sugimoto E., Okuno T., Morimoto T. Changes in blood volume and vascular compliance during body heating in rats // Pfüg. Arch.—1988.—412, N 4.—P. 354—358.
11. Hoshang J., Khambatta M. B., Stuart F., Sullivan M. D. Effect of respiratory alkalis on oxygen consumption and oxygenation // Anesthesiology.—1973.—38, N 1.—P. 53—58.
12. Ingram D. L., Mount L. E. Man and animals in hot environments Berlin: Heidelberg; New York : Springer, 1975.—240 p.
13. Maxwell G. M., Castillo C. A., Crumpton C. W., Rowe G. G. Hyperthermia: systemic and coronary circulatory changes in the intact dog // Amer. Heart J.—1959.—58, N 6.—P. 854—862.
14. Miki K., Morimoto T., Nose H. et al. Canine blood volume and cardiovascular function during hyperthermia // J. Appl. Physiol.—1983.—55, N 2.—P. 300—306.
15. Morimoto T., Miki K., Nose H. et al. Changes in vascular compliance during hyperthermia // J. Therm. Biol.—1984.—9, N 1—2.—P. 149—151.
16. Needleman P., Minkes M. S., Douglas J. R. Stimulation of prostaglandin biosynthesis by adenine nucleotides. Profiles of prostaglandin release by perfused organs // Circ. Res.—1974.—34, N 4.—P. 455—460.
17. Rowell L. B. Human cardiovascular adjustments to exercise and thermal stress // Physiol. Rev.—1974.—54, N 1.—P. 75—159.
18. Siggaard-Andersen O. Definitions of acid—base quantities: terminology, symbols and units // U. S. Der. Com. Nat. Bur. Stand. Spec. Publ.—1977.—450, N 1.—P. 1.
19. Triandof J., Bratianu A., Cosovanu A., Stratone A. Le stress thermique experimental et les modifications cardiovasculaires // Rev. roum. Morphol. Embryol et Physiol. Ser. Physiol.—1975.—12, N 2.—P. 97—102.

Институт физиологии им. А. А. Богомольца  
АН УССР, Киев

Материал поступил  
в редакцию 02.10.89

УДК 612.18.181.13.143

С. Б. Верескун, А. В. Дмитриева, А. Г. Карцева

## Роль нейронов каудальной вентролатеральной области продолговатого мозга кошки в механизме реализации кардиогемодинамической реакции

В настоящее время имеются убедительные данные, свидетельствующие о том, что в каудальной вентролатеральной области продолговатого мозга (CVLM) расположены группы тонически активных нейронов, оказывающих тормозящее влияние на сосудистый тонус: активация этих нейронов приводит к развитию депрессорной реакции, а их «выключение» сопровождается повышением системного артериального давления (САД) [3—6, 9—13]. Показано также, что изменение артериального давления (АД), наблюдаемое при различных воздействиях на нейроны CVLM, обусловлено преимущественно изменениями общего периферического сопротивления сосудов (ОПСС), а не насосной функции сердца [1, 7]. Однако представления о механизме реализации тормозящих влияний на нейрогенный сосудистый тонус изучены недостаточ-

но. Высказывается предположение о взаимодействии нейронального пучка, либо ростральной [1, 4].

Целью настоящего иссл. CVLM в механизме реализации тонуса.

### Методика

В острых опытах на восьми искуственных котизированных смесью хлоралозы внутрибрюшинно, использовали венозного мозга [1].

Для активации, функционального контроля исследуемых нейронов продолговатого мозга применяли: глутаматные вещества осуществляли с помощью общего диаметра кончика которых нокислот, согласно пятну диффузии, позволяло изучать влияние указанных положенных нейронных популяций функционально неоднозначных групп.

Об изменениях кардиогемодинамическим зателям: систолическому и диастолическому внутрижелудочковому давлению (КДД) и первой производной (ЧСС) объему кровообращения (МОК) ку крови, среднединамическое артериальное давление (ИР) и  $\rho_{\text{ЛЖ}}$  рассчитывались (ИР и  $\rho_{\text{ЛЖ}}$  рассчи-

### Результаты

Симпатовозбуждающие нейроны идентифицировали введением (концентрация 1 моль/л) мозга, после чего развивающаяся реакция, латентный период показан пример идентификации PVLM после введения из рисунка, после введения лисьи на 36 и 32 мм рт. ст. выражено (на 20 мл), ЧСС. Это свидетельствует о том, что имущественно увеличение т. к. насосная функция сердца.

После восстановления рез второй канал хемотропирующих нейронов RVLM (рис. 1, б), после введения симпатовозбуждающей реакции, при которой на 19 мм рт. ст. выражена первая производная  $dp/dt = 30 \text{ мл/мин}$ . ЧСС, УОК, лежащность депрессорной рефлексной зависимости от из-за 3 104  $\text{мН} \cdot \text{с} \cdot \text{м}^{-2}$ , что является явлением сдвигов, обусловленных возбуждающими нейронами.

На рис. 1, в приведен предварительного функционирования.

Физиол. журн., 1990, т. 36, № 3



иенко Т. Д. Оксигенация крови в легких состояния при гипертермии // Там же.—

енко Т. Д. Внешнее дыхание, газообмен гипертермии у собак // Физиол. журн.—

в Г. Ф. Кровообращение при гипертензии // Успехи физиол. наук.— 1983.— 14,

Development of tissue hypoxia during physiol.—1963.—205, N 4.—P. 733—737.  
ion in human skin as a factor in heat  
—P. 219—232.

for partition of the circulation between  
sc. Res.—1980.—19, N 2.—P. 250.  
to T. Changes in blood volume and vas-  
rars // Pfüg. Arch.—1988.—412, N 4.—

*Livan M. D.* Effect of respiratory alkalosis // Anesthesiology.—1973.—38, N 1.—

W., Rowe G. G. Hyperthermia: systemic act dog // Amer. Heart J.—1959.—58,

blood volume and cardiovascular func-  
1983.—55, N 2.—P. 300—306.  
in vascular complitance during hyper-  
P. 149—151.  
stimulation of prostaglandin biosynthe-  
glandin release by perfused organs //  
ents to exercise and thermal stress //

se quantities: terminology, symbols and Spec. Publ.—1977.—450, N 1.—P. 1.  
te A. Le stress thermique experimental  
um. Morphol. Embriol et Physiol. Ser.

Материал поступил  
в редакцию 02.10.89

и в механизме  
реакции

е данные, свидетельствующие о области продолговатого мозга активных нейронов, сосудистый тонус: активация вессорной реакции, а их «высокосистемного артериального давления», что изменение артерии различных воздействиях на енно изменениями общего периферического кровообращения (ПКС), а не насосной функции. Механизмы реализации тормозящий тонус изучены недостаточно.

но. Высказывается предположение о реализации этих влияний посредством взаимодействия нейронов CVLM и структур либо ядра одиночного пучка, либо ростральной вентролатеральной области (RVLM) [1, 4].

Целью настоящего исследования явилось изучение роли нейронов CVLM в механизме реализации тормозящих влияний на сосудистый тонус.

## Методика

В острых опытах на восьми искусственно вентилируемых кошках (3,0–5,0 кг), наркотизированных смесью хлоралозы (50 мг/кг) и уретана (500 мг/кг), введенных внутрибрюшинно, использовали вентральный доступ к исследуемым областям ствола мозга [1].

Для активации, функционального «выключения» и последующего гистологического контроля исследуемых нейронных структур вентролатеральной области продолговатого мозга применяли: глутамат, глицин и проциновый желтый. Введение 50 нл веществ осуществляли с помощью трехканальных стеклянных пипеток-хемотротов, общий диаметр кончика которых был не более 50 мкм. Область воздействия аминокислот, согласно пятну диффузии 50 нл красителя, не превышала 300 мкм, что позволяло изучать влияние указанных аминокислот на относительно компактно расположенные нейронные популяции без вовлечения в реакцию соседних, возможно, функционально неоднозначных групп нейронов.

Об изменениях кардиогемодинамической реакции судили по следующим показателям: систолическому и диастолическому артериальному давлению (САД и ДАД), внутрижелудочковому давлению ( $p_{ЛЖ}$ ), его конечно-диастолическому компоненту (КДД) и первой производной ( $dp/dt$ ), ударному объему крови (УОК), минутному объему кровообращения (МОК) и частоте сердечных сокращений (ЧСС). ОПСС току крови, среднединамическое артериальное давление, индекс Верагута (ИВ), индекс расслабления (ИР) и  $p_{ЛЖ}$  рассчитывали согласно общепринятым методам.

## Результаты

Симпатовозбуждающие нейроны RVLM и тормозящие нейроны CVLM идентифицировали введением 50 нл раствора глицина или глютамата (концентрация 1 моль/л) в соответствующие участки продолговатого мозга, после чего развивалась характерная депрессорная или прессорная реакция, латентный период которой был не более 10 с. На рис. 1, а показан пример идентификации симпатовозбуждающих нейронов области PVLM после введения 50 нл глютаминовой кислоты. Как видно из рисунка, после введения препарата значения САД и ДАД увеличились на 36 и 32 мм рт. ст. соответственно; МОК увеличился менее выраженно (на 20 мл), ЧСС, УОК, ИВ и ИР существенно не изменились. Это свидетельствует о том, что повышение АД было обусловлено преимущественно увеличением ОПСС току крови на  $6\ 533\ \text{мН}\cdot\text{с}\cdot\text{м}^{-9}$ , т. к. насосная функция сердца увеличилась мало.

После восстановления АД (6–8 мин) до исходного значения через второй канал хемотрода к исследуемой популяции симпатовозбуждающих нейронов RVLM подводили 50 нл глицина. Как видно из рис. 1, б, после введения глицина развивалась характерная депрессорная реакция, при которой САД снизилось на 25 мм рт. ст., а ДАД — на 19 мм рт. ст. Выраженно уменьшились  $p_{\text{ЛЖ}}$  (на 24 мм рт. ст.), его первая производная  $dp/dt_{\text{max}}$  (на 1 250 мм рт. ст. $\cdot$ с $^{-1}$ ) и МОК (на 30 мл/мин). ЧСС, УОК, ИВ и ИР существенно не изменились. Выраженность депрессорной реакции, как и прессорной, находилась в прямой зависимости от изменения ОПСС, которое уменьшилось на 3 104 мН $\cdot$ с $\cdot$ м $^{-9}$ , что является характерным для кардиогемодинамических сдвигов, обусловленных функциональным выключением симпатовозбуждающих нейронов RVLM [1].

На рис. 1, в приведен пример, который показывает, что в условиях предварительного функционального «выключения» глицином симпто-

возбуждающих нейронов RVLM, последующее введение такого же объема глицина в CVLM (указано стрелкой) на фоне максимального развития депрессорной реакции не изменяло ее направленности.

Как следует из рис. 1, *г*, спустя 10 мин повторное введение глицина в CVLM на фоне частичного восстановления АД привело к разви-

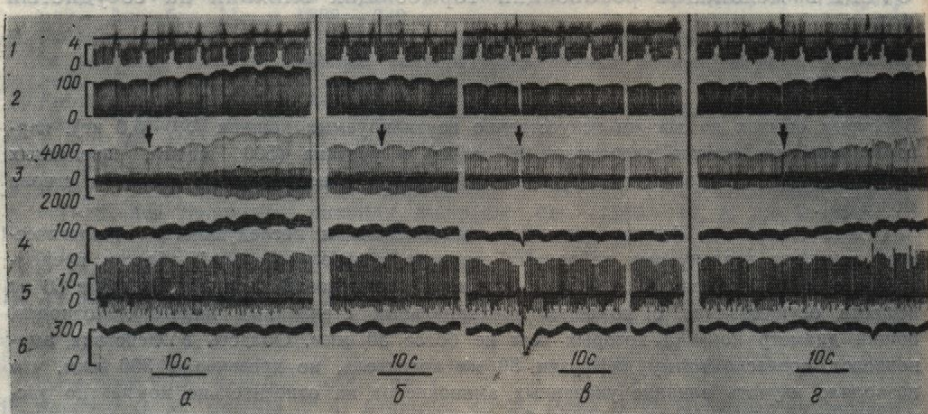


Рис. 1. Кардиогемодинамические сдвиги, обусловленные односторонним введением глицина в CVLM в условиях предварительного «выключения» глицином симпатовозбуждающих нейронов RVLM, идентифицированных введением глутамата:

*α* — кардиогемодинамическая реакция, обусловленная введением глутамата в область расположения симпатовозбуждающих нейронов RVLM; *β* — кардиогемодинамическая реакция, вызванная введением глицина в нейроны RVLM; *γ* — отсутствие кардиогемодинамических сдвигов в ответ на введение глицина в CVLM в условиях инактивации симпатовозбуждающих нейронов RVLM; *δ* — кардиогемодинамическая реакция, обусловленная введением глицина в CVLM в условиях частично восстановленной активности симпатовозбуждающих нейронов RVLM (*1* — КДД, мм. рт. ст.; *2* — РЛЖ, мм. рт. ст.; *3* —  $dp/dt$ , мм. рт. ст.  $\cdot$  с $^{-1}$ ; *4* — САД, мм. рт. ст.; *5* — УОК, мл; *6* — МОК, мл/мин). Стрелками обозначены моменты введения глицина или глутамата.

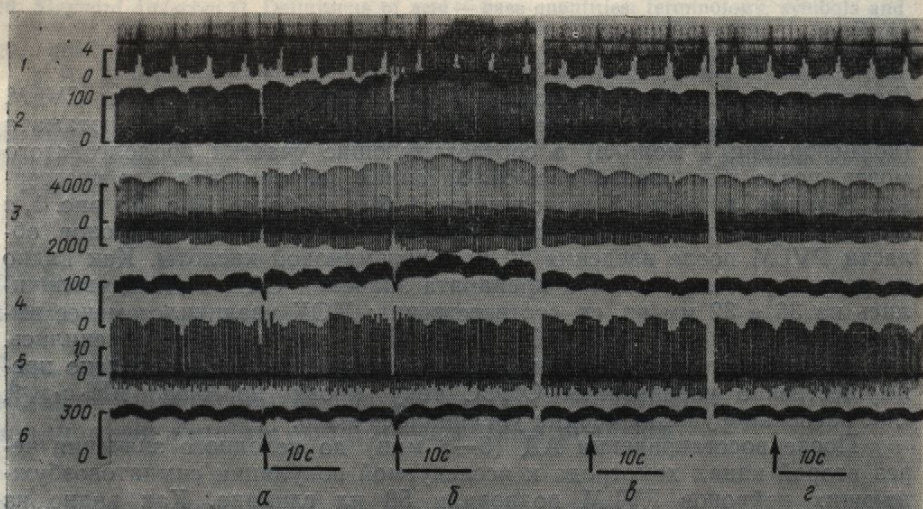


Рис. 2. Кардиогемодинамическая реакция, обусловленная введением глицина в CVLM и изменение направленности реакции при введении глицина в RVLM:

*α* — кардиогемодинамическая реакция, вызванная введением глицина в область расположения тормозящих нейронов CVLM; *β* — характер сдвигов показателей кардиогемодинамики, вызванных введением глицина в RVLM в условиях предварительного функционального «выключения» нейронов CVLM; *γ*, *δ* — характер восстановления показателей кардиогемодинамики. Остальные обозначения те же, что на рис. 1.

тию характерной прессорной реакции: САД и ДАД увеличились на 30 и 26 мм рт. ст. соответственно, РЛЖ увеличилось на 30 мм рт. ст., КДД — на 0,4 мм рт. ст.,  $dp/dt_{max}$  — на 2250 мм рт. ст.  $\cdot$  с $^{-1}$ , МОК уменьшился на 16 мл/мин, ЧСС осталась неизменной, ИВ и ИР существенно не изменились. Однак

Следовательно, как показано в *стон* введение глицина, не сказываясь на направленности реакции, обусловленной блокадой CVLM, не развивается.

Помимо этого, выключенное введением глицина, не сказываясь на направленности реакции, обусловленной блокадой CVLM, не развивается.

Рис. 3. Графики, характеризующие направленность (относительное изменение) и продолжительность (с) кардиогемодинамической реакции, вызванной введением глицина в CVLM (*1*), а также в RVLM (*2*). Стрелками обозначены моменты введения глицина.

из рис. 2, *а*, введение 50 нл. САД на 47 и ДАД на 41 мм рт. ст. на 2250 мм рт. ст.  $\cdot$  с $^{-1}$ , в то же время УОК не изменилось, а МОК не изменилось, развивалось и дальнейшее изменение АД, что, возможно, было связано с дальнейшим увеличением нагрузки.

Введение 50 нл глицина в нейроны RVLM на фоне введения 50 нл глицина в CVLM, приводило к плавному переходу в новую реакцию и смене ее направленности. Направленность реакции изменилась на 12, а ДАД — на 11 мм рт. ст. на 2741 мН  $\cdot$  с  $\cdot$  м $^{-2}$ , а МОК, УОК, РЛЖ, ЧСС и направленность реакции были характерными для введенного глицином симпатовозбуждающего нейрона.

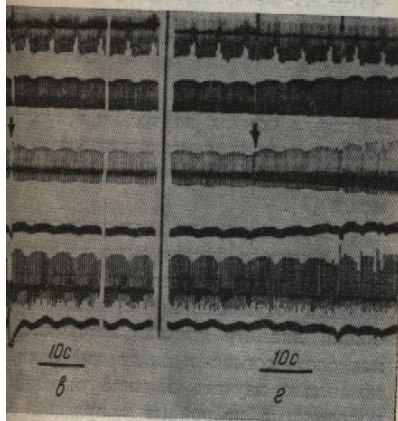
Для большей наглядности и продолжительности реакции при введении глицина в идентифицированные нейроны CVLM, а также в нейроны RVLM, последовательно в графике, введение глицина в виде прессорной реакции в RVLM, то дальнейшее ее развитие — прессорной реакцией, характерной для тормозящих нейронов RVLM.

## Обсуждение

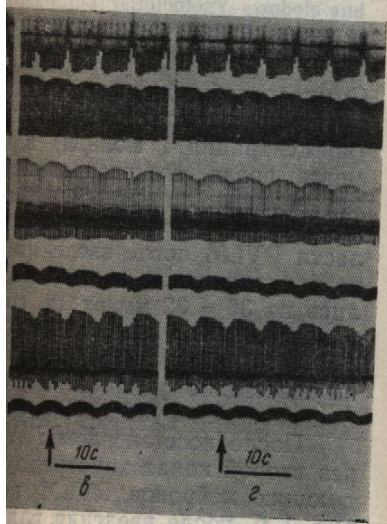
Результаты наших исследований показывают, что в идентифицированные нейроны, в условиях предварительного «выключения» глицином активности симпатовозбуждающих нейронов, провождается развитием интактной активности нейронов, с представлениями ряда различных моделях, что блокада CVLM на нейрогенный способствует развитию взаимодействия их с симпатовозбуждающими нейронами.

Физiol. журн., 1990, т. 36, № 3

следующее введение такого же дозы) на фоне максимального сняло ее направленности. Мин повторное введение глицина привело к разви-



овленные односторонним введением «выключения» глицином симпатовозбудителями введение глютамата: введение глютамата в область расположения кардиогемодинамической реакции, вызванной односторонними сдвигами в ответ на симпатовозбуджающих нейроны RVLM; введение глицина в CVLM (1 — КДД, мм рт. ст.; 2 — УОК, мл; 3 — МОК, мл/мин). Глютамат.



ленная введением глицина в CVLM и глицина в RVLM:

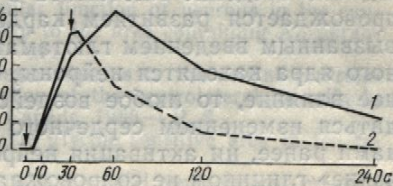
глицина в область расположения тормозящих нейронов, вызванные функционального «выключения» нейронов кардиогемодинамики. Остальные обозначения

ДиДАД увеличились на 30% на 30 мм рт. ст., 2250 мм рт. ст. · с<sup>-1</sup>, МОК неизменной, ИВ и ИР существенно.

венно не изменились. Однако резко возросло ОПСС (на 9740 мН · с · м<sup>-2</sup>). Следовательно, как показано на рис. 1, а — в, в условиях функционального выключения симпатовозбуджающих нейронов RVLM прессорная реакция, обусловленная блокадой активности тормозящих нейронов CVLM, не развивается.

Помимо этого, выключение активности тормозящих нейронов CVLM введением глицина, не оказывается на характере протекания кардиогемодинамической реакции, обусловленной угнетением активности симпатовозбуджающих нейронов RVLM. На рис. 2 показан пример другого рода взаимодействия нейронов областей CVLM и RVLM. Как видно

Рис. 3. Графики, характеризующие выраженность (относительное изменение АД, %) и продолжительность (с) кардиогемодинамической реакции, вызванной введением глицина в CVLM (1), а также в CVLM и RVLM (2). Стрелками обозначены моменты введения глицина.



из рис. 2, а, введение 50 нл глицина в CVLM приводит к увеличению САД на 47 и ДАД на 41 мм рт. ст.,  $p_{\text{дл}}$  на 48 мм рт. ст.,  $dp/dt_{\text{max}}$  на 2250 мм рт. ст. · с<sup>-1</sup>, в то время как МОК и ЧСС увеличиваются незначительно, а УОК не изменяется. Обращает на себя внимание тот факт, что изменение показателей, характеризующих сердечную деятельность, развивалось и достигало максимума несколько позднее изменения АД, что, возможно, отражает работу сердца в состоянии постнагрузки.

Введение 50 нл глицина в место расположения симпатовозбуджающих нейронов RVLM на фоне повышенного давления, обусловленного введением 50 нл глицина в область расположения тормозящих нейронов CVLM, приводило к прекращению дальнейшего развития прессорной реакции и смене ее депрессорной. Как показано на рис. 2, б, направленность реакции изменялась уже через 10 с — САД снизилось на 12, а ДАД — на 11 мм рт. ст.,  $p_{\text{дл}}$  — на 12 мм рт. ст., ОПСС — на 2741 мН · с · м<sup>-2</sup>, а МОК, УОК и ЧСС остались неизменными. Далее выраженность и направленность изменений показателей кардиогемодинамики были характерными для реакции, развивающейся вслед за выключением глицином симпатовозбуджающих нейронов RVLM.

Для большей наглядности приводим графическое изображение выраженности и продолжительности прессорной реакции, обусловленной введением глицина в идентифицированную область расположения нейронов CVLM, а также реакции, развивавшейся в ответ на введение глицина последовательно в CVLM и RVLM (рис. 3). Как показано на графике, введение глицина в CVLM приводило к развитию характерной прессорной реакции. Если же на фоне ее развития вводили глицин RVLM, то дальнейшее ее течение прекращалось, и она сменялась депрессорной реакцией, характерной для «выключения» симпатовозбуджающих нейронов RVLM.

### Обсуждение

Результаты наших исследований показали, что введение глицина в идентифицированные участки CVLM, где расположены тормозящие нейроны, в условиях предварительного функционального «выключения» глицином активности симпатовозбуджающих нейронов RVLM не сопровождается развитием прессорной реакции, наблюдаемой в условиях интактной активности нейронов RVLM. Эти результаты согласуются с представлениями ряда других авторов [5, 11, 13], установивших на разных моделях, что реализация тормозящих влияний нейронов CVLM на нейрогенный сосудистый тонус осуществляется посредством взаимодействия их с симпатовозбуджающими нейронами RVLM.

До настоящего времени нет единого мнения ни о локализации тормозящих нейронов, ни о медиаторной их принадлежности. Впервые Blessing и Reis [5] указали на то, что депрессорные реакции CVLM могут быть обусловлены норадреналинсинтезирующими нейронами A1, образующими прямые проекции к нейронам RVLM. Согласно данным, представленным другими авторами [1, 8], группа норадренергических нейронов не является той, которая обеспечивает тормозящее действие на нейроны RVLM. Blessing и Li [6] определили, что депрессорные нейроны расположены преимущественно вентральнее обоюдного ядра и частично перекрывают его проекции каудальнее уровня задвигки. Однако введение глютамата в дорсальную часть этих структур не сопровождается развитием кардиогемодинамических реакций, подобных вызванным введением глютамата в CVLM. Поскольку в области обоюдного ядра находятся нейроны, оказывающие отрицательное хронотропное влияние, то любое воздействие на эту область должно сопровождаться изменением сердечного ритма. Между тем, как было показано нами ранее, ни активация нейронов CVLM глютаматом, ни их «выключение» глицином не сопровождаются существенными изменениями ЧСС. Наблюдаемые при этом кардиогемодинамические реакции обусловлены, преимущественно, изменениями ОПСС [1].

Тормозящее влияние нейронов CVLM на симпатовозбуждающие нейроны RVLM может реализоваться через различные рецепторы синаптической передачи. Согласно представлениям Blessing и Li [6], влияние нейронов CVLM на нейрогенный сосудистый тонус становится неэффективным при блокаде только ГАМК-эргических рецепторов нейронов RVLM. Нами показано, что глицинчувствительные рецепторы нейронов RVLM, наряду с ГАМК-чувствительными, также имеют значение при передаче влияния нейронов CVLM на сосудистый тонус. В последнее время [2] получены данные, свидетельствующие о том, что и глицин, и ГАМК могут влиять на одни и те же рецепторноканальные комплексы, так как специфические блокаторы глицин- и ГАМК-эргических рецепторов (стрихнин и бикукуллин) одинаково эффективно действуют на глицин- и ГАМК-активируемые токи.

В отличие от симпатовозбуждающих нейронов RVLM, являющихся интегративным звеном в развитии и поддержании нейрогенного сосудистого тонуса, нейроны CVLM таковыми не являются. Нами показано, что функциональное «выключение» этой группы нейронов не связывается на развитии кардиогемодинамической реакции, вызванной активацией или «выключением» нейронов RVLM.

Полученные нами результаты позволяют сделать заключение о том, что нейроны CVLM реализуют свое влияние на нейрогенный сосудистый тонус посредством взаимодействия с симпатовозбуждающими нейронами RVLM и не являются, в отличие от последних, интегративным звеном в данной регуляции.

S. B. Vereskun, A. W. Dmitrieva, A. G. Kartseva

## SIGNIFICANCE OF NEURONS OF THE CVLM AREA IN CAT IN THE MECHANISM OF THE CARDIOHEMODYNAMIC REACTION REALIZATION

Glycine injection to the identified area of the RVLM leads to the development of a characteristic depressor reaction, due to a decrease of the total peripheral vascular resistance (TRP). Glycine injection to the identified area of CVLM results in the developing pressor reaction also due to the changes of TRP. Glycine injection to CVLM under preliminary functional switch-off the RVLM neuronal activity is not accompanied by the development of pressor reaction. This can be an evidence that CVLM sympathoinhibitory neurones act on cardiohaemodynamics by their interaction with RVLM sympathoexcitatory neurones. Turn off of the tonically active sympathoinhibitory CVLM neurones does not affect the character of the reactions depending on the inhibition or excitation of sympathoexcitatory RVLM neurones.

A. A. Bogomoletz Institute of Physiology, Kiev

## СПИСОК ЛИТЕРАТУРЫ

1. Карцева А. Г., Верескун С. Б., Дзинских реакций при воздействии продолговатого мозга кошки // Физиология. — 1989. — 21, № 1. — С. 133.
  2. Сафонров Б. В. Влияние стрихиином тормозящих медиаторов, в логия. — 1989. — 21, № 1. — С. 133.
  3. Шаповал Л. Н., Побегайло Л. С. Первые и вегетативные реакции на стимулы продолговатого мозга кошки // Физиология. — 1989. — 21, № 1. — С. 133.
  4. Blessing W. W. Depressor neuron in rostral medulla // Amer. J. Physiol. — 1982. — 243, No. 5. — P. 1450.
  5. Blessing W. W., Reis D. J. Inhibitory control of the dorsal ventrolateral medulla of the rat by presynaptic inhibition of the noradrenergic cells // Brain Res. — 1982. — 243, No. 1. — P. 1450.
  6. Blessing W. W., Li Y. W. Studies on the control of the circulation. — London: Academic Press, 1982.
  7. Campus R. R., Guertzenstein P. Regulation of the cardiac output // Physiology. — 1983. — 279. — P. 299—302.
  8. Day T. A., Ro A., Renaud L. P. The control of the rat does not correspond to the control of the rabbit // Physiol. Rev. — 1983. — 279. — P. 299—302.
  9. Dembowsky K., Czachurski J., Szwarczak J. Inhibition of the dorsal ventrolateral medulla in the cat // Physiol. Rev. — 1988. — 277. — P. 15.
  10. Granata A. R., Kumada M., Reis D. J. Inhibition of the dorsal ventrolateral medulla in the rat by neurons in the dorsal raphe nucleus // J. Neurophysiol. — 1985. — 54, No. 1. — P. 387—395.
  11. Granata A. R., Numao Y., Kumada M. Inhibition of the dorsal ventrolateral medulla in the rat by neurons in the dorsal raphe nucleus // J. Neurophysiol. — 1985. — 54, No. 1. — P. 387—395.
  12. Willette R. N., Barcas P. P., Kriegstein H. Identification of the dorsal ventrolateral medulla in the rat // J. Comp. Neurol. — 1983. — 22, No. 1. — P. 1071.
  13. Willette R. N., Punnen S., Kriegstein H. Identification of the dorsal ventrolateral medulla in the rat // J. Comp. Neurol. — 1984. — 231. — P. 169—174.

Ин-т физиологии им. А. А. Богомо  
АН УССР, Киев

УДК 612.115:577.175.343

М. Г. Голубева, Т. М. Калишевская

## **Влияние вазопрессина и на свертывание крови у**

Вазопрессин — нейрогипофиз принимающий участие в осакций организма. Результаты нее время, указывают на пептид в коррекции разли крови при лечении больных [15], а также различных внутривенное введение арг-1-дезамино-8d-аргинилвазопсодержания фактора VIII, гемостатические нарушения [11, 16]. При введении валичение содержания активируется в клинике для профилактики вазопрессина значительно ским и прессорным действи

Физиол. журн., 1990, т. 36, №

## СПИСОК ЛИТЕРАТУРЫ

- Карцева А. Г., Верескун С. Б., Дмитриева А. В. Исследование кардио-гемодинамических реакций при воздействии глицином на нейроны вентролатеральной области продолговатого мозга кошки // Физиол. журн. — 1988. — 34, № 2. — С. 40—46.
- Сафонов Б. В. Влияние стрихнина и бикукуллина на ответы, вызванные приложением тормозящих медиаторов, в нейронах спинного мозга миноги // Нейрофизиология. — 1989. — 21, № 1. — С. 133—135.
- Шаповал Л. Н., Побегайло Л. С. Изменение эффеरентной активности в почечном нерве и вегетативные реакции на введение ГАМК в структуры вентральной поверхности продолговатого мозга кошки // Там же. — 1987. — 19, № 3. — С. 327—334.
- Blessing W. W. Depressor neurons in rabbit caudal medulla act via GABA receptors in rostral medulla // Amer. J. Physiol. — 1988. — 23, N 4. — P. H686—692.
- Blessing W. W., Reis D. J. Inhibitory cardiovascular function of neurons in the caudal ventrolateral medulla of the rabbit: relationship to the area containing A<sub>1</sub>, noradrenergic cells // Brain Res. — 1982. — 253. — P. 161—171.
- Blessing W. W., Li Y. W. Studies on vasodepressor neurons in the caudal ventrolateral medulla of the rabbit // Abstr. Symp. Function of the ventrolateral medulla in the control of the circulation. — London; Ontario; Canada, 1988. — P. 8.
- Campus R. R., Guertzenstein P. G. The role of the glycine sensitive area in the regulation of the cardiac output // Ibid. — P. 23.
- Day T. A., Ro A., Renaud L. P. Depressor area within caudal ventrolateral medulla of the rat does not correspond to the A<sub>1</sub> catecholamine cell group // Brain Res. — 1983. — 279. — P. 299—302.
- Dembowksy K., Czachurski J., Seller H. Inhibition of sympathetic activity from the caudal ventrolateral medulla oblongata in the cat // Abstr. Symp. Function of the ventrolateral medulla in the control of the circulation. — London; Ontario; Canada, 1988. — P. 15.
- Granata A. R., Kumada M., Reis D. J. Sympathoinhibition by A<sub>1</sub>-noradrenergic neurons is mediated by neurons in the C<sub>1</sub> area of the rostral medulla // J. Auton. Nerv. Syst. — 1985. — 14. — P. 387—395.
- Granata A. R., Numao Y., Kumada M., Reis D. J. A<sub>1</sub>-noradrenergic neurons tonically inhibit sympathoexcitatory neurons of C<sub>1</sub> area in rat brainstem // Brain Res. — 1986. — 377. — P. 127—146.
- Willette R. N., Barcas P. P., Krieger A. J., Sapru H. N. Vasopressor and depressor areas in the rat medulla. Identification by microinjection of L-glutamate // Neuropharmacology. — 1983. — 22. — P. 1071—1079.
- Willette R. N., Punnen S., Krieger A. J., Sapru H. N. Interdependence of rostral and caudal ventrolateral medullary areas in the control of blood pressure // Brain Res. — 1984. — 321. — P. 169—174.

Ин-т физиологии им. А. А. Богомольца  
АН УССР, Киев

Материал поступил  
в редакцию 05.10.89

УДК 612.115:577.175.343

М. Г. Голубева, Т. М. Калишевская, М. Е. Соловьева

## Влияние вазопрессина и его аналогов на свертывание крови у крыс

Вазопрессин — нейропептидный гормон белково-пептидной природы, принимающий участие в осуществлении многих физиологических реакций организма. Результаты исследований, проведенных за последнее время, указывают на положительную роль, которую играет этот пептид в коррекции различных нарушений процессов свертывания крови при лечении больных гемофилии А и болезнью Виллебранда [15], а также различных тромботических осложнений. Показано, что внутривенное введение аргинилвазопрессина (АВП) или его аналога 1-дезамино-8d-аргинилвазопрессина (ДДАВП) вызывает увеличение содержания фактора VIII, давая возможность временно корректировать гемостатические нарушения у пациентов с этими заболеваниями [10, 11, 16]. При введении вазопрессина наблюдается значительное увеличение содержания активаторов плазминогена [6, 9], что используется в клинике для профилактики тромбообразования [17]. Применение вазопрессина значительно ограничивается его мощным антидиуретическим и прессорным действием. Изучение аналогов вазопрессина, не об-

мнения ни о локализации тор-  
их принадлежности. Впервые  
депрессорные реакции CVLM  
интезирующими нейронами A<sub>1</sub>,  
нам RVLM. Согласно данным,  
группа норадренергических  
печивает тормозящее действие  
определенными, что депрессорные  
центральне обоюдного ядра  
каудальнее уровня задвижки.  
часть этих структур не со-  
амических реакций, подобных  
1. Поскольку в области обоюд-  
ющие отрицательное хронотроп-  
область должно сопровож-  
ежду тем, как было показано  
глютаматом, ни их «выклю-  
чительными изменениями ЧСС.  
ические реакции обусловлены  
[1].

На симпатовозбуждающие  
различные рецепторы син-  
авлениям Blessing и Li [6],  
сосудистый тонус становится  
К-ergicических рецепторов ней-  
чувствительные рецепторы ней-  
льными, также имеют значе-  
на сосудистый тонус. В по-  
следствующие о том, что  
и те же рецепторы (каналь-  
локаторы глицина-ГАМК-эр-  
лин) одинаково эффективно  
ны токи.

нейронов RVLM, являющихся  
оддержании нейрогенного со-  
ми не являются. Нами пока-  
ной группы нейронов не скаж-  
ической реакции, вызванной  
RVLM.

от сделать заключение о том,  
ние на нейрогенный сосуди-  
симпатовозбуждающими ней-  
от последних, интегративным

EA IN CAT  
NAMIC REACTION REALIZATION

leads to the development of a char-  
e total peripheral vascular resistance  
CVLM results in the developing  
cine injection to CVLM under pre-  
activity is not accompanied by  
vidence that CVLM sympathoinhibi-  
tion with RVLM sympathoex-  
sympathoinhibitory CVLM neurones  
lying on the inhibition or excitation